

# 2023 北京石景山高三一模

## 生 物

本试卷共 10 页，100 分。考试时长 90 分钟。考生务必将答案答在答题卡上，在试卷上作答无效。考试结束后，将答题卡交回。

### 第一部分

本部分共 15 题，每题 2 分，共 30 分。在每题列出的四个选项中，选出最符合题目要求的一项。

1. 金黄色葡萄球菌是一种细菌，能在食物中繁殖，分泌的可溶性蛋白质——肠毒素会导致人食物中毒。

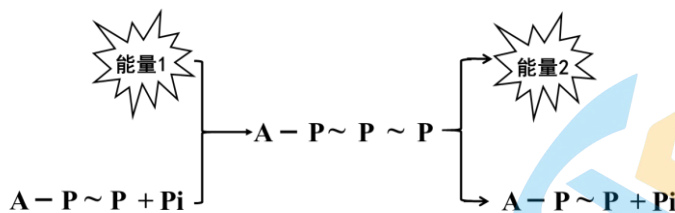
下列叙述正确的是

- A. 该菌没有线粒体，但能进行有氧呼吸
- B. 该菌没有成形的细胞核，但有染色体
- C. 肠毒素在该菌的核糖体合成，在内质网加工
- D. 高温会破坏肠毒素分子中的肽键

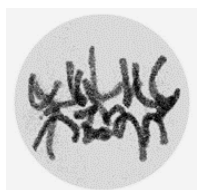
2. 溶酶体膜上的质子泵能利用 ATP 水解产生的能量，将细胞质基质中的  $H^+$  逆浓度梯度泵入溶酶体内，使溶酶体的 pH 维持在 4.6 左右。近日，科学家鉴定出首个溶酶体膜上的  $H^+$  通道 TM175，能介导过量的  $H^+$  溢出溶酶体，避免溶酶体内部处于过酸状态。下列叙述不正确的是

- A. TM175 和质子泵共同调节溶酶体的 pH 稳态
- B.  $H^+$  通过质子泵进入溶酶体的方式属于主动运输
- C.  $H^+$  通过 TM175 溢出溶酶体的方式属于自由扩散
- D. 溶酶体中的水解酶在 pH 为 4.6 左右时活性较高

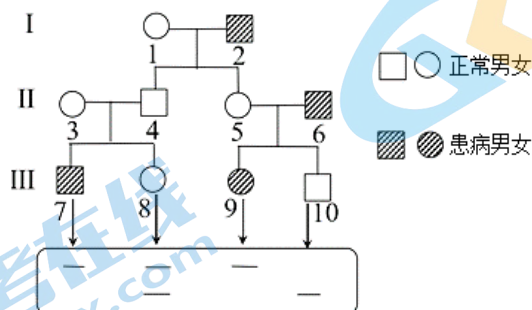
3. 下图是生物体内 ATP 合成与水解示意图。下列叙述正确的是



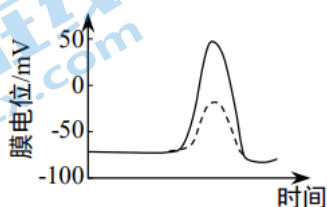
- A. 能量 1 均来自于细胞呼吸释放的能量
  - B. 能量 2 可用于蛋白质合成等放能反应
  - C. ATP 与 ADP 相互转化使细胞储存大量 ATP
  - D. 此转化机制在所有生物的细胞内都相同
4. 某研究小组利用电子显微镜观察动物肝脏临时装片，得到下图所示图像（仅显示部分）。下列分析不正确的是



- A. 该细胞处于有丝分裂中期，着丝粒均排列在赤道板上  
 B. 该时期细胞核中的 DNA 数目是染色体数目的 2 倍  
 C. 该时期后，细胞中的同源染色体受纺锤丝牵引分别移向两极  
 D. 统计多个视野发现处于此时期的细胞数少于处于间期的细胞数
5. 先天性夜盲症是一种单基因遗传病（相关基因用 B、b 表示），患者视网膜视杆细胞不能合成视紫红质。下图为某家族中此病的患病情况，以及第 III 代个体的基因检测结果。下列分析不正确的是



- A. 该病为隐性遗传病，致病基因位于 X 染色体上  
 B. II-3 与 II-4 均携带致病基因，因此后代 III-7 患病  
 C. II-5 的小肠上皮细胞和初级卵母细胞中均含有致病基因  
 D. 若 III-8 与正常男性结婚，生育患病后代的概率是 1/4
6. 下列有关 DNA 及其复制过程的叙述，正确的是
- A. 脱氧核糖和磷酸的交替连接是 DNA 多样性的原因之一  
 B. 复制过程遵循 A-U、C-G 的碱基互补配对原则  
 C. 复制时游离的脱氧核苷酸添加到子链的 3' 端  
 D. DNA 聚合酶的作用是将 DNA 双螺旋的两条链解开
7. 下列有关进化和生物多样性的叙述，不正确的是
- A. 严格自花传粉的植物种群内个体间存在生殖隔离  
 B. 自然选择和人工选择都能定向改变种群的基因频率  
 C. 生物的多样性包括基因多样性、物种多样性和生态系统多样性  
 D. 蜂鸟细长的喙与某些花的筒状花萼是长期协同进化形成的相互适应
8. 下图中实线表示神经纤维受到适宜刺激时的膜电位变化，虚线表示经某种处理后，受到相同刺激时的膜电位变化。由此推测此处理可能是



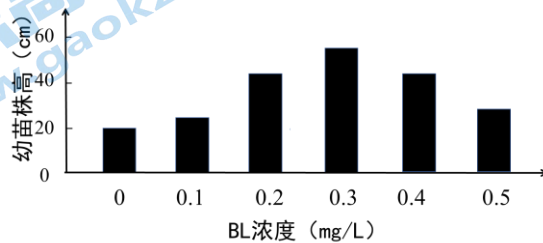
- A. 利用药物完全阻断  $K^+$  通道  
 B. 利用药物完全阻断  $Na^+$  通道  
 C. 将神经纤维置于低浓度  $K^+$  溶液中  
 D. 将神经纤维置于低浓度  $Na^+$  溶液中
9. 餐后血糖一般呈“先升后降”的趋势。下列关于“升”和“降”的原因分析中，不合理的是

- A. “升”与胰高血糖素的作用有关
- B. “升”与食物中的糖被消化吸收有关
- C. “降”与胰岛素的作用有关
- D. “降”与血糖被分解利用有关

10. 免疫制剂已经广泛应用于疾病的预防与治疗。下列不属于该范畴的是

- A. 口服“糖丸”预防脊髓灰质炎
- B. 利用生长激素释放抑制激素治疗肢端肥大症
- C. 利用免疫抑制剂治疗类风湿性关节炎
- D. 注射破伤风免疫球蛋白治疗破伤风

11. 芸苔素内酯(BL)是一种新型植物生长调节剂。某实验小组用不同浓度的BL溶液处理芹菜幼苗，一段时间后，测量不同浓度下幼苗的平均株高，结果见下图。下列分析不正确的是



- A. 推测 BL 在植物体内主要分布在生长旺盛的部位
- B. 浓度为 0.5 mg/L 的 BL 对芹菜幼苗生长具有抑制作用
- C. 促进芹菜幼苗生长的最适 BL 浓度介于 0.2~0.4 mg/L 之间
- D. 将 BL 用于生产还应考虑施用时间、部位及残留等

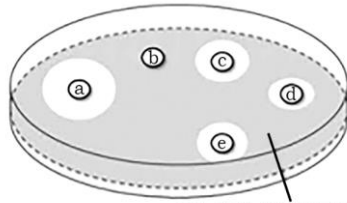
12. 为修复因养殖鸡鸭而被污染和破坏的湿地，某地实施“退养还湿”生态修复工程(如下图)。下列说法不正确的是



法不正确的是

- A. 修复过程中发生的群落演替属于次生演替
- B. 芦苇阶段比翅碱蓬阶段的抵抗力稳定性强
- C. 不同演替阶段应适当补种生态位相似的其他植物
- D. 修复后的湿地极具观赏性，体现了生物多样性的直接价值

13. 为筛选能大量分泌蛋白酶的枯草芽孢杆菌，将浸过不同菌株 a~e 分泌物提取液的无菌圆纸片置于培养基表面，放置 2 天后结果如下图。下列叙述不正确的是



高浓度蛋白质导致培养基不透明

- A. 接种前应对培养基进行高压蒸汽灭菌
- B. 还应增设浸过无菌水的圆纸片进行对照
- C. 菌株 a 可作为大规模产业化培养的备选株
- D. 实验结果说明菌株 b 一定不能合成蛋白酶

14. “细胞培养肉”是一种人造动物蛋白，其培养过程是：获取哺乳动物的肌肉干细胞，将其培养成肌肉细胞，并分化成肌肉纤维。这意味着人类有望摆脱对传统养殖业的依赖。下列叙述正确的是

- A. 获取肌肉干细胞时，用盐酸溶解细胞间物质使细胞分离
- B. 培养过程中的各种操作不需要在无菌环境中进行
- C. 贴壁细胞在生长繁殖时，会发生接触抑制现象
- D. 肌肉干细胞具有与胚胎干细胞相同的全能性

15. 下列高中生物学实验中，材料选择或操作步骤正确的是

- A. 紫色洋葱鳞片叶和黑藻叶片均可用于观察细胞的质壁分离及复原
- B. 探究温度对酶活性影响的实验中，可使用肝脏研磨液中的过氧化氢酶
- C. 分离光合色素提取液中的色素时，应使滤液细线触及层析液便于扩散
- D. 统计酵母菌种群数量时，在血细胞计数板中加菌液，盖上盖玻片，吸去多余菌液

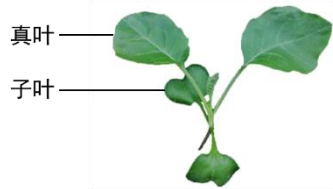
## 第二部分

本部分共 6 题，共 70 分。

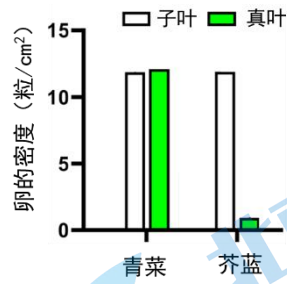
16. (12 分)

小菜蛾是一种害虫，其幼虫主要危害十字花科蔬菜。

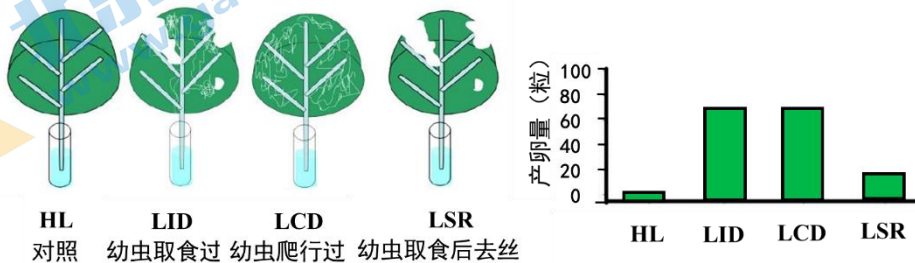
- (1) 从生态系统的组成成分划分，小菜蛾属于\_\_\_\_\_。十字花科植物可分泌芥子油苷防御害虫，而经过长期的演化，小菜蛾幼虫可抵御这种毒素。成虫将卵产于叶片上，孵化出的幼虫以叶片为食。芥子油苷同时还能吸引小菜蛾的天敌。上述现象说明，芥子油苷作为一种信息，能调节生物的种间关系，维持生态系统的\_\_\_\_\_。
- (2) 青菜和芥蓝是两种常见的十字花科蔬菜，研究者比较了小菜蛾成虫在两种植物叶片上的产卵量（见下图）。结果显示\_\_\_\_\_。



注：种子发芽后，最开始长出一对叶片叫子叶；之后长出形状和子叶有明显差异的真叶



- (3) 芥蓝真叶的叶片表面有蜡质，青菜真叶表面无蜡质，二者的子叶表面均无蜡质（有蜡质的叶片表面更光滑，卵不易附着）。除去芥蓝叶片右侧的蜡质，统计左侧和右侧的产卵量。实验结果为右侧卵的数目\_\_\_\_\_左侧，证明小菜蛾成虫在芥蓝真叶上产卵量小的原因是表面有蜡质。
- (4) 研究人员发现，幼虫取食过的芥蓝真叶上卵数量增加。为探究这种现象的原因，电镜下观察幼虫取食过的芥蓝叶片，可看到爬行和取食部位布满了丝，进一步发现幼虫只在爬行过程中吐丝。用四组真叶进行实验，并统计叶片上的产卵量（见下图）。



请结合 (2) ~ (4) 的研究，推测小菜蛾在厚蜡植物上的生存策略为\_\_\_\_\_。

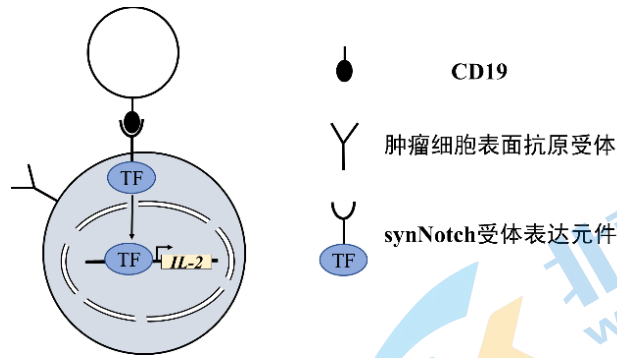
- (5) 蚕豆（非十字花科）植株不能吸引小菜蛾成虫产卵，且小菜蛾幼虫不能在蚕豆植株上存活。请据此提出芥蓝田里控制小菜蛾的生物防治措施。

17. (11分)

嵌合抗原受体 T 细胞 (CAR-T) 是指经过改造，能表达肿瘤细胞表面抗原受体的 T 细胞。比如表达血液肿瘤细胞表面抗原受体的 CAR-T 细胞可以特异性识别并清除血液肿瘤细胞。

- (1) 当机体免疫功能正常时，免疫系统可识别并清除肿瘤细胞，这体现了免疫系统的\_\_\_\_\_功能。该过程需要细胞毒性 T 细胞的活化，参与其活化的细胞包括靶细胞、\_\_\_\_\_细胞等。
- (2) CAR-T 细胞在血液肿瘤的治疗中已取得显著效果，而用于治疗实体瘤时，实体瘤的微环境会抑制 IL-2 的产生，导致 CAR-T 细胞难以浸润、活化、增殖。若给患者全身使用 IL-2，则可能引起严重的不良反应。

①研究者给 CAR-T 细胞再“安装”一个受体表达元件—synNotch，其工作原理如下图所示。该元件的胞外部分为 CD19 受体 (CD19 为肿瘤细胞表面普遍存在的一种抗原)，当 CAR-T 细胞受到肿瘤细胞刺激时，胞内的 TF 被释放进入\_\_\_\_\_，促进 IL-2 基因的转录，最终合成并分泌大量 IL-2。改造后的 CAR-T 细胞治疗实体瘤的优势是\_\_\_\_\_。



②为证明改造后的 CAR-T 细胞对肿瘤具有更强的抑制效果，研究者用胰腺癌模型鼠（胰腺癌细胞表面的一种特异性抗原为间皮素）开展相关实验。请从 I~VI 中选择小鼠和相应处理的组合，并预期实验结果。

- I: 胰腺癌模型鼠    II: 健康鼠    III: 不做处理
- IV: 注射能表达间皮素受体的 CAR-T 细胞
- V: 注射能表达 synNotch 的 CAR-T 细胞
- VI: 注射能同时表达间皮素受体和 synNotch 的 CAR-T 细胞

分组	实验材料+处理	肿瘤体积（用“+/-”表示，“+”越多代表体积越大）
1	I+III	+++
2		
3		

18. (12分)

R 酶是植物光合作用暗反应的关键酶，由大亚基 L（叶绿体中 L 基因编码）和小亚基 S（由细胞核中 S 基因编码）组成。研究人员在一种变形杆菌内发现高活性的 R 酶，尝试将编码该酶两种亚基的 *HnL*、*HnS* 基因转入烟草，以提升烟草光合速率。

- (1) 烟草光合作用暗反应发生的场所是\_\_\_\_\_，其中 R 酶催化\_\_\_\_\_与  $C_5$  结合生成两分子  $C_3$ ，由于该酶催化效率低，往往导致光合速率受限。
- (2) 构建下图 1 所示的基因表达载体，转化至烟草细胞内。

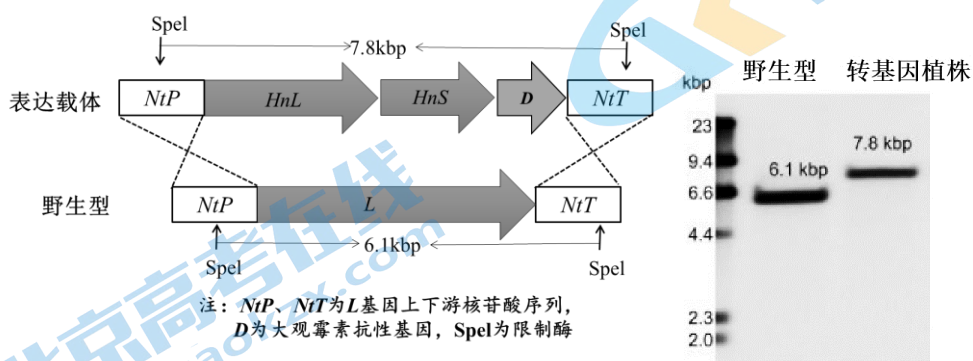


图1

图2

①图 1 中的两个 DNA 片段两端的部分序列分别相同时，某种酶能从相同序列特定位点切断 DNA 双链，在修复过程中切口被重新连接，从而实现基因片段的替换，替换下来的游离片段会被降解。据此推断，野生型中的\_\_\_\_\_将被表达载体中的 DNA 片段替换。

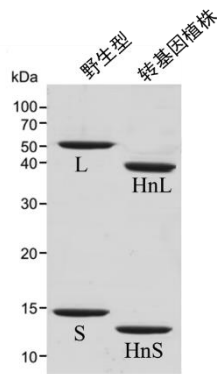


图3

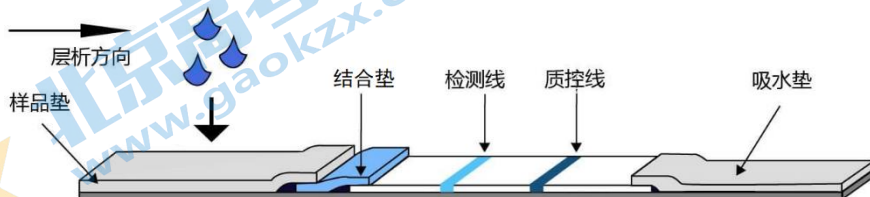
- ②将转化后的愈伤组织培养在含\_\_\_\_\_的培养基中，得到转基因植株。
- ③提取野生型与转基因植株 DNA，用 *Spe*I 酶切后进行电泳。根据\_\_\_\_\_设计基因探针，与 DNA 片段结合后结果如图 2，表明\_\_\_\_\_。
- (3) 提取野生型与转基因烟草叶片总蛋白，将 R 酶的两亚基分离后进行电泳，结果如图 3。
- 前人研究发现，核基因编码的 S 亚基若在烟草叶绿体中没有与 L 亚基结合，会迅速降解。请判断图 3 电泳结果是否支持此结论，并阐述理由。
- (4) 进一步研究发现，转基因烟草的 R 酶活性是野生型的 2 倍，但其净光合速率仍低于野生型，请推测其原因。

19. (11 分) 学习以下材料，回答 (1) ~ (5) 题。

#### A 型塞内卡病毒的快速检测

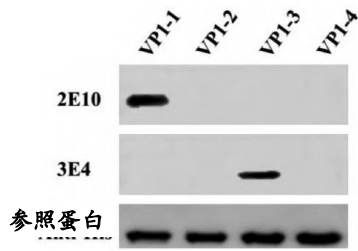
A 型塞内卡病毒 (SVA) 会导致猪患水疱传染病，症状与猪口蹄疫等传染病非常相似，增加了鉴别的难度。VP1 蛋白是 SVA 核衣壳蛋白的主要成分，基因序列比较保守，因此常作为 SVA 诊断的靶蛋白。

检测病毒抗原常用的方法之一是胶体金免疫层析技术，具有快速、特异性强、操作简便、结果直观等特点。胶体金试纸条的构成如下图所示。将检测样本滴入样品垫后，样本会沿着硝酸纤维素膜向前移动。如果样本中含有某种病毒抗原，就会首先被结合垫上的胶体金标记抗体结合，形成“病毒抗原—金标抗体”复合物，并继续向试纸末端流动。在检测线 (T 线) 上又被能识别此抗原的另一种抗体捕获，形成“金标抗体—病毒抗原—T 线抗体”复合物。由于胶体金大量聚集后呈红色，因此 T 线显现出红色。试纸中多余的金标抗体会继续往吸水垫方向流动，当流至质控线 (C 线) 时，被此处包裹的 C 线抗体捕获，形成“金标抗体—C 线抗体”复合物。同样由于胶体金大量聚集，C 线显现出红色。C 线抗体通常为不具特异性的山羊抗鼠抗体。



某研究小组利用 SVA 的 VP1 蛋白，制备得到 2 种单克隆抗体 (2E10、3E4)。为进一步确定 2E10 和 3E4 在 VP1 上的识别位点，将 VP1 蛋白截为 4 段，电泳后分别用 2E10 和 3E4 为探针进行杂交，结果如

右图所示。表明2E10和3E4识别VP1上不同的抗原位点。利用这2种抗体制备组装成SVA胶体金试纸条，经检测，制备的试纸条有良好的特异性、灵敏性和稳定性。

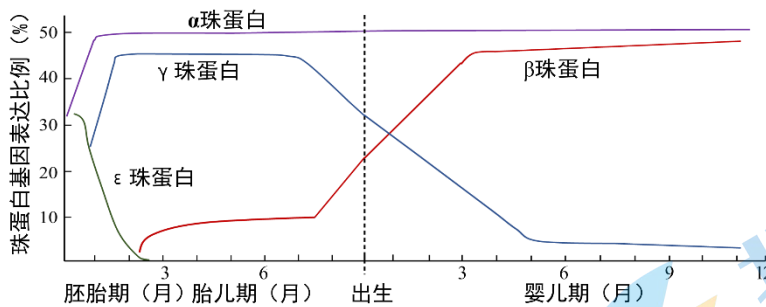


- (1) 利用胶体金试纸条检验病毒的过程中，试纸上发生待检测病毒的抗原与抗体结合的区域是\_\_\_\_\_。
- (2) 写出制备单克隆抗体 2E10、3E4 的主要流程。
- (3) 研究者判断“2E10 和 3E4 识别 VP1 上不同的抗原位点”的依据是\_\_\_\_\_。
- (4) 文中制备的 SVA 试纸条的结合垫、检测线、质控线包埋的抗体依次是\_\_\_\_\_。
- (5) 与需进行 PCR 的核酸检测相比，用胶体金试纸条进行抗原检测的检出率略低，主要原因是\_\_\_\_\_。

20. (12分)

镰状细胞贫血症是一种遗传病，患者会出现疼痛、贫血、手脚肿胀等症状。

- (1) 此病是由于编码血红蛋白的  $\beta$  珠蛋白基因中一个碱基对的改变，导致多肽链中某谷氨酸被缬氨酸替换。此种变异属于可遗传变异中的\_\_\_\_\_。
- (2) 血红蛋白由两两相同的 4 个珠蛋白亚基构成，不同珠蛋白基因在人体发育过程中的表达情况如下图。



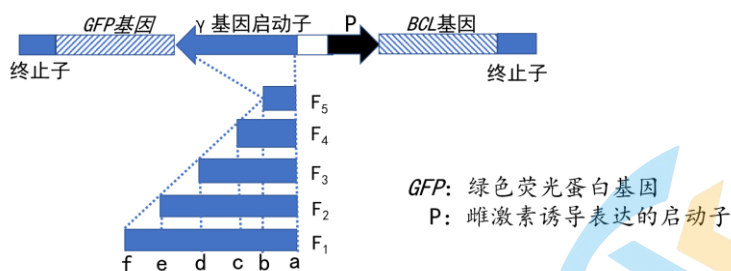
人体在胎儿期和出生后血红蛋白的主要组成分别是\_\_\_\_\_。形成这种差异是基因\_\_\_\_\_的结果。

- (3) BCL 是成体红细胞中特异表达的转录因子，科研人员推测该转录因子关闭了  $\gamma$  珠蛋白基因（简称“ $\gamma$  基因”）的表达，而启动  $\beta$  珠蛋白基因的表达。为证明该推测，实验组应选择材料和检测指标为\_\_\_\_\_，支持上述推测的预期结果为\_\_\_\_\_。
  - ①野生型小鼠      ②BCL 基因敲除小鼠      ③BCL 基因过表达小鼠
  - ④检测  $\alpha$  珠蛋白含量      ⑤检测  $\beta$  珠蛋白含量      ⑥检测  $\gamma$  珠蛋白含量
- (4) 实验结果证实了上述推测。为确定 BCL 蛋白在  $\gamma$  基因启动子中的结合位点，科研人员扩增了  $\gamma$  基因启动子不同长度的片段  $F_1 \sim F_5$ ，将这些片段分别构建表达载体（如下图），导入敲除 BCL 基因的受体细胞。

成功转化后，检测出含  $F_1 \sim F_4$  的受体细胞有绿色荧光，含  $F_5$  的受体细胞无荧光。继续向培养



液中添加适量的雌激素，含  $F_1 \sim F_3$  受体细胞不再有荧光，而含  $F_4$  的受体细胞仍有荧光。据此推测，BCL 蛋白结合位点位于\_\_\_\_\_（用字母表示）。



(5) 科学家还发现， $\gamma$  珠蛋白含量多的镰状细胞贫血症患者症状较轻。请结合以上研究，提出利用病人的造血干细胞对镰状细胞贫血症进行基因治疗的思路。

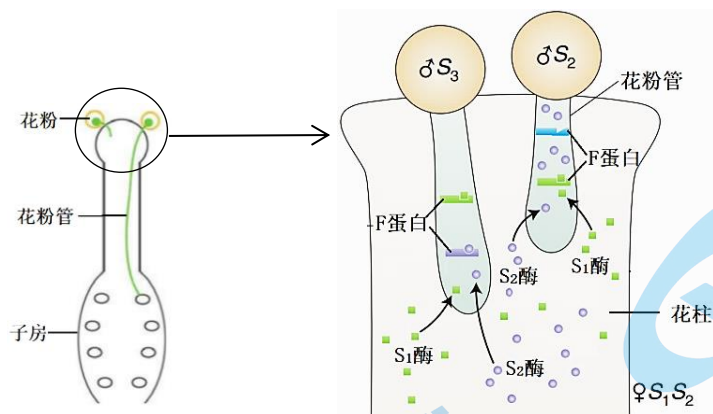
21. (12分)

马铃薯是世界上最重要的粮食作物之一，与大多数粮食作物不同，马铃薯主要以块茎繁殖。

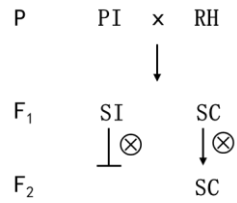
(1) 野生马铃薯为二倍体，而商业化的马铃薯栽培品种为四倍体，即体细胞中有 4 个\_\_\_\_\_。块茎繁殖易携带病原体，且四倍体的染色体高度杂合，使引入新性状的育种工作复杂化。因此，利用二倍体杂交是马铃薯育种的发展趋势。

(2) 大多数二倍体马铃薯自交不亲和，其受 1 号染色体上复等位基因 ( $S_1, S_2, S_3, \dots$ ) 控制。如下图所示，该基因在雌蕊的花柱中编码 S 酶，能抑制花粉管的伸长，导致精子不能与卵细胞结合；在雄蕊的花粉中则编码 F 蛋白，能识别降解进入花粉管的 S 酶，但对相同基因编码的 S 酶无效。

图中的两个亲本杂交，后代的基因型及比例是\_\_\_\_\_。



(3) 科学家发现一种自交亲和的二倍体马铃薯 RH，研究发现其自交亲和由 12 号染色体上的 A 基因决定，A 蛋白能识别绝大多数类型的 S 酶。将 RH（父本， $AaS_1S_1$ ）与自交不亲和的二倍体 PI（母本， $aaS_2S_2$ ）杂交，流程如图。



注：SC为自交亲和  
SI为自交不亲和

①F<sub>1</sub>中SC自交，F<sub>2</sub>中AA:Aa=1:1,无aa类型的个体，理由是基因型为\_\_\_\_\_的精子花粉管不能伸长，无法完成受精。

②写出F<sub>1</sub>中SC自交的遗传图解。

(4) S酶是雌蕊阻断花粉管萌发的“锁”，RH中的A蛋白则表现出“万能钥匙”的作用，从而打破自交不亲和性，对培育马铃薯自交系有重要作用。请写出利用RH培育出自交亲和的PI的流程。(用文字或图示作答均可)

## 参考答案

第一部分共 15 题，每题 2 分，共 30 分。

1-5 ACDCB 6-10 CADAB 11-15 BCDCA

第二部分共 6 题，共 70 分（除特殊标注外，每空 2 分）。

16. (12 分)

- (1) 消费者 平衡与稳定
- (2) 小菜蛾在青菜真叶、子叶上的产卵密度无差异，在芥蓝子叶上的产卵密度显著高于真叶
- (3) 大于
- (4) 成虫在子叶上产卵，孵化后的幼虫爬行到真叶上取食，爬行过程中吐的丝覆盖蜡质，取食破坏蜡质，使叶片表面不光滑，有利于卵的附着。
- (5) 在芥蓝田中间隔种植蚕豆，小菜蛾爆发前在蚕豆上喷施芥子油苷或芥蓝提取物。

17. (11 分)

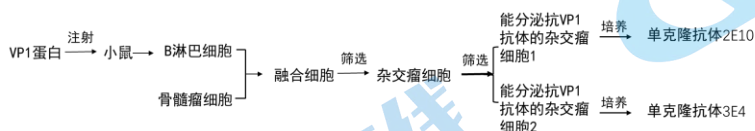
- (1) 免疫监视 辅助性 T
- (2) ①细胞核 仅在受肿瘤细胞刺激时由 CAR-T 细胞自身合成并分泌大量 IL-2，有利于 CAR-T 细胞发挥免疫效应，避免了全身使用带来的不良反应  
②2 组：I+IV ++ 3 组：I+VI +或-

18. (12 分)

- (1) 叶绿体基质  $\text{CO}_2$
- (2) ①L 基因 ②大观霉素  
③ *NtP*、*NtT* 序列 转基因植株中，L 基因完全被替换为 *HnL*、*HnS*
- (3) 支持 转基因植株细胞中 S 基因未被替换，但电泳却未检出 S 亚基。  
(或：不支持 未检出 S 亚基，不一定是 S 亚基降解，可能是 S 基因未表达。)
- (4) R 酶的表达量低于野生型；转基因植株  $\text{CO}_2$  饱和点高于野生型

19. (11 分)

- (1) 结合垫、检测线 (T 线)



- (2)
- (3) 2E10 仅与 VP1-1 结合，而 3E4 仅与 VP1-3 结合
- (4) 2E10、3E4、山羊抗鼠抗体 (或：3E4、2E10、山羊抗鼠抗体)
- (5) 抗原含量较低时不易被测出，而 PCR 过程是以病毒核酸为模板进行多次复制，少量的病毒核酸在扩增后可被测出

20. (12 分)

- (1) 基因突变
- (2) 胎儿期主要由 2 个  $\alpha$ 、2 个  $\gamma$  珠蛋白组成，出生后主要由 2 个  $\alpha$ 、2 个  $\beta$  珠蛋白组成 选择性表

达

(3) ②⑤⑥

实验组  $\gamma$  珠蛋白表达量高于对照组,  $\beta$  珠蛋白表达量低于对照组

(4) c~d

(5) 敲除(或沉默、突变)病人造血干细胞的 *BCL* 基因, 筛选  $\gamma$  珠蛋白含量多的造血干细胞, 体外大量培养后输入病人体内。

21. (12分)

(1) 染色体组

(2)  $S_1S_3 : S_2S_3 = 1 : 1$

(3) ① a ( $aS_1$ 、 $aS_2$ )

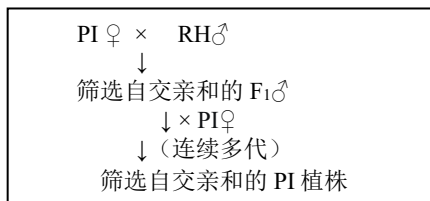
②

$AaS_1S_2$

↓ ⊗

雌配子 \ 雄配子	$AS_1$	$AS_2$	$aS_1$ (不能萌发)	$aS_2$ (不能萌发)
$AS_1$	$AAS_1S_1$	$AAS_1S_2$	×	×
$AS_2$	$AAS_1S_2$	$AAS_2S_2$	×	×
$aS_1$	$AaS_1S_1$	$AaS_1S_2$	×	×
$aS_2$	$AaS_1S_2$	$AaS_2S_2$	×	×

(4) 方案 1: 回交 (见右图)



方案 2: PCR 获取 A 基因, 构建含 A 基因的表达载体导入  $PI$  细胞, 通过植物组培技术获得自交亲和的  $PI$  植株。

## 关于我们

北京高考在线创办于 2014 年，隶属于北京太星网络科技有限公司，是北京地区极具影响力的中学升学服务平台。主营业务涵盖：北京新高考、高中生涯规划、志愿填报、强基计划、综合评价招生和学科竞赛等。

北京高考在线旗下拥有网站门户、微信公众平台等全媒体矩阵生态平台。平台活跃用户 40W+，网站年度流量数千万量级。用户群体立足于北京，辐射全国 31 省市。

北京高考在线平台一直秉承 “精益求精、专业严谨” 的建设理念，不断探索 “K12 教育+互联网+大数据” 的运营模式，尝试基于大数据理论为广大中学和家长提供新鲜的高考资讯、专业的高考政策解读、科学的升学规划等，为广大高校、中学和教科研单位提供 “衔接和桥梁纽带” 作用。

平台自创办以来，为众多重点大学发现和推荐优秀生源，和北京近百所中学达成合作关系，累计举办线上线下升学公益讲座数百场，帮助数十万考生顺利通过考入理想大学，在家长、考生、中学和社会各界具有广泛的口碑影响力

未来，北京高考在线平台将立足于北京新高考改革，基于对北京高考政策研究及北京高校资源优势，更好的服务全国高中家长和学生。



微信搜一搜

北京高考资讯